

DOI: 10.13491/j.issn.1004-714X.2023.04.005

· 论 著 ·

# 气溶胶样品中<sup>134</sup>Cs、<sup>137</sup>Cs 和<sup>60</sup>Co 测量的实验室间比对结果分析

娄海林, 郑一凡, 文雯, 丛日俐, 董迁, 孙笑雨, 涂兴明, 王绍林

中国原子能科学研究院, 北京 102413

**摘要:** 目的 为了提高参比单位环境实验室对气溶胶样品中<sup>134</sup>Cs、<sup>137</sup>Cs 和<sup>60</sup>Co 分析水平。方法 组织参比单位环境实验室依据 GB/T 16145—1995《生物样品中放射性核素的 γ 能谱分析方法》国家标准开展气溶胶样品中<sup>134</sup>Cs、<sup>137</sup>Cs 和<sup>60</sup>Co 标准样品的比对测量, 比对结果采用标准值偏差进行判定。结果 气溶胶样品中<sup>134</sup>Cs、<sup>137</sup>Cs 和<sup>60</sup>Co 比对参加单位 6 家。<sup>134</sup>Cs: 相对偏差小于 10%, 占 50%; 10%~20%, 50%; <sup>137</sup>Cs: 相对偏差小于 10%, 占 33.3%; 10%~20%, 76.7%; <sup>60</sup>Co: 相对偏差小于 10%, 占 100%。整体比对结果可以接受。结论 参加本次比对的实验室, 整体比对结果良好。

**关键词:** 气溶胶样; <sup>134</sup>Cs; <sup>137</sup>Cs 和<sup>60</sup>Co; 比对

中图分类号:X591 文献标识码:A 文章编号:1004-714X(2023)04-0393-05

## Analysis of <sup>134</sup>Cs, <sup>137</sup>Cs, and <sup>60</sup>Co in aerosol samples: An intercomparison among laboratories

LOU Hailin, ZHENG Yifan, WEN Wen, CONG Rili, DONG Qian, SUN Xiaoyu, TU Xingming, WANG Shaolin

China Institute of Atomic Energy, Beijing 102413 China

**Abstract:** **Objective** To improve the analysis of <sup>134</sup>Cs, <sup>137</sup>Cs, and <sup>60</sup>Co in aerosol samples by the national key radiation environment laboratories. **Methods** Intercomparison of analysis results of <sup>134</sup>Cs, <sup>137</sup>Cs, and <sup>60</sup>Co in standard aerosol samples was performed among the national key radiation environment laboratories according to *Gamma spectrometry method of analyzing radionuclides in biological samples* (GB/T 16145-1995), and the intercomparison results were evaluated by the standard deviation. **Results** Six laboratories were involved in the intercomparison. For <sup>134</sup>Cs, 50% of the laboratories showed a relative deviation less than 10%, and 50% showed a relative deviation of 10%-20%. For <sup>137</sup>Cs, 33.3% of the laboratories showed a relative deviation less than 10%, and 76.7% showed a relative deviation of 10%-20%. For <sup>60</sup>Co, all laboratories showed a relative deviation less than 10%. The overall intercomparison results were acceptable. **Conclusion** The laboratories in this intercomparison show generally good results.

**Keywords:** Aerosol; <sup>134</sup>Cs, <sup>137</sup>Cs and <sup>60</sup>Co; Intercomparison

环境气溶胶样品中放射性核素监测是环境辐射监测的重要组成部分<sup>[1-2]</sup>, 其中<sup>134</sup>Cs、<sup>137</sup>Cs 和<sup>60</sup>Co 是重点关注的 γ 核素<sup>[3-5]</sup>。在辐射环境监测分析中, 质量控制是保证监测结果准确性的重要措施<sup>[6-7]</sup>。其中, 开展实验室间标准样品的比对是质量控制最重要的手段, 是分析过程中发现问题、减少误差、提高分析能力最有效的途径<sup>[8-9]</sup>。

本文开展了环境气溶胶样中<sup>134</sup>Cs、<sup>137</sup>Cs 和<sup>60</sup>Co 标准样品的制备, 并通过重要辐射环境实验室间的比对, 检验了参比单位对环境气溶胶样品中<sup>134</sup>Cs、<sup>137</sup>Cs 和<sup>60</sup>Co 的分析水平。通过对比过程中存在的问题进行分析总结, 提高了各实验室对环境气溶胶样

品中<sup>134</sup>Cs、<sup>137</sup>Cs 和<sup>60</sup>Co 的分析能力。本文主要介绍了本次比对活动的相关情况。

### 1 材料与方法

1.1 主要材料与试剂 基质: 气溶胶为聚丙烯滤膜材质, 河南核净洁净技术有限公司。<sup>134</sup>Cs 标准溶液: 167.8 Bq/g, 参考日期: 2017.07.09, 不确定度 0.7%, 法国。<sup>137</sup>Cs 标准溶液: 255.7 Bq/g, 参考日期: 2017.07.09, 不确定度 0.5%, 法国。<sup>60</sup>Co 标准溶液: 252 Bq/g, 参考日期: 2017.07.09, 不确定度 0.9%, 法国。

1.2 气溶胶<sup>134</sup>Cs、<sup>137</sup>Cs 和<sup>60</sup>Co 标准样品的制备 制备过程: ①用放射性标准溶液配制成<sup>134</sup>Cs、<sup>137</sup>Cs 和

$^{60}\text{Co}$  活度浓度分别为 0.19、0.20 和 0.23 Bq/ml 溶液 (A 溶液)。②把气溶胶滤膜剪切成 20 cm × 30 cm 长方形，并在把滤膜上划分成 2 cm × 2 cm 的正方形区域，共分 150 个小区域，并确定出每个小区域的中心。③把整理好的气溶胶滤膜平整的铺在写字板上，用红外等进行烘烤 5 h，关掉红外灯后晾晒 1 d。④然后在气溶胶滤膜的每个 2 cm × 2 cm 正方形小区域中心上点滴 0.5 ml A 溶液。⑤对点滴完的气溶胶滤膜进行烘烤，红外灯距离气溶胶滤膜大约 20 cm，温度不宜过高，一旦溶液蒸干，立即关闭红外灯。

均匀性检验：根据相关文献 [10-11] 进行均匀性检验，均匀性检测 $^{134}\text{Cs}$ 、 $^{137}\text{Cs}$  和  $^{60}\text{Co}$  核素，监测方法：把气溶胶滤膜折叠为长方形，以长方形的中心对准探头中心放置，然后进行均匀性检验，每次测量 1300 s，重复测量 3 次，气溶胶 $^{134}\text{Cs}$ 、 $^{137}\text{Cs}$  和  $^{60}\text{Co}$  标准样品的制备流程见图 1，均匀性测量结果见表 1。

使用 Grubbs 准则对以上测量结果进行异常值的检验，经检验在 95% 置信度下未发现异常值。方差分析结果列于表 2，根据自由度(5, 12)及显著性水平  $\alpha = 0.05$ ，可由  $F$  分布临界值表查得临界值  $F_{\alpha}(5, 12) = 3.11$ ，所测量的 $^{134}\text{Cs}$ 、 $^{137}\text{Cs}$ 、 $^{60}\text{Co}$  的  $F$  值均小于临界值  $F_{\alpha}(5, 12)$ ，说明组内与组间没有明显差异，即通过均匀性检验，样品是均匀的。

表 1 均匀性检验样品的净计数测量数据 (S)

Table 1 Net count measurement data for homogeneity test

| 测量核素              | 编号  | 1    | 2    | 3    | 4    | 5    | 6    |
|-------------------|-----|------|------|------|------|------|------|
| $^{134}\text{Cs}$ | 结果1 | 1057 | 975  | 979  | 1057 | 985  | 1050 |
|                   | 结果2 | 1012 | 990  | 972  | 1154 | 1250 | 999  |
|                   | 结果3 | 1040 | 953  | 960  | 985  | 1053 | 1355 |
| $^{137}\text{Cs}$ | 结果1 | 1032 | 985  | 1113 | 1109 | 950  | 1055 |
|                   | 结果2 | 1003 | 1007 | 1107 | 1042 | 1069 | 1069 |
|                   | 结果3 | 1031 | 1103 | 1105 | 1023 | 1087 | 1078 |
| $^{60}\text{Co}$  | 结果1 | 1020 | 1133 | 1057 | 1195 | 1191 | 1192 |
|                   | 结果2 | 1148 | 1148 | 1081 | 1188 | 1119 | 1208 |
|                   | 结果3 | 1167 | 1157 | 1184 | 1186 | 1098 | 1218 |

1.3 气溶胶 $^{134}\text{Cs}$ 、 $^{137}\text{Cs}$  和  $^{60}\text{Co}$  标准样品定值 气溶胶 $^{134}\text{Cs}$ 、 $^{137}\text{Cs}$  和  $^{60}\text{Co}$  标准样品由国防科技工业一级计量站定值， $^{134}\text{Co}$  比活度参考值：12.1 Bq，不确定度 6.6%， $^{137}\text{Cs}$  比活度参考值：13.3 Bq，不确定度 6.4%， $^{60}\text{Co}$  比活度参考值：16.0 Bq，不确定度 6.6%。

1.4 比对方法 参加本次比对的实验室单位共 6 家：香港特别行政区香港天文台(01)；广东省环境

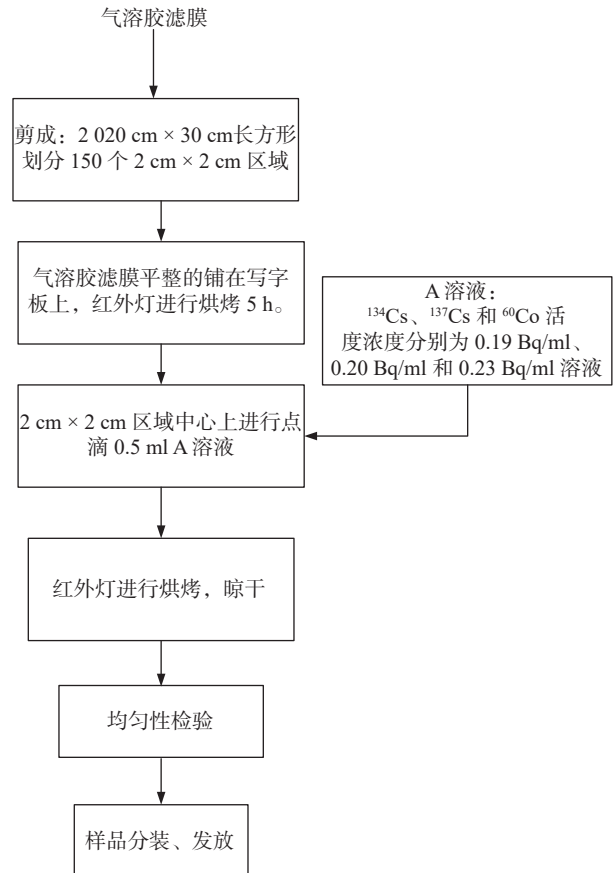


图 1 气溶胶 $^{134}\text{Cs}$ 、 $^{137}\text{Cs}$  和  $^{60}\text{Co}$  标准样品的制备流程

Figure 1 Flowchart of preparing  $^{134}\text{Cs}$ ,  $^{137}\text{Cs}$ , and  $^{60}\text{Co}$  standard aerosol samples

辐射监测中心(02)；广东省环境辐射监测中心粤西分部(03)；大亚湾核电运营管理有限责任公司(04)；广东省职业病防治院(05)；中国原子能科学研究院(06)。具体分析方法可参考《高纯锗  $\gamma$  能谱分析通用方法》(GB/T 11713—2015)<sup>[12]</sup>、《空气中放射性核素的  $\gamma$  能谱分析方法》(WS/T 184—2017)<sup>[13]</sup> 或者相关的国家或行业标准。参比单位测量仪器信息见表 3。

表 2 样品均匀性检验方差分析表

Table 2 Analysis of variance for homogeneity test

| 测量核素              | 变差源 | 平方和SS  | 自由度 | 均方MS  | F    | $F_a(5, 12)$ |
|-------------------|-----|--------|-----|-------|------|--------------|
| $^{134}\text{Cs}$ | 瓶间  | 65796  | 5   | 13159 | /    |              |
|                   | 瓶内  | 128301 | 12  | 10692 | 1.23 | 3.11         |
|                   | 总和  | 194098 | 17  | /     | /    |              |
| $^{137}\text{Cs}$ | 瓶间  | 15050  | 5   | 3010  | /    |              |
|                   | 瓶内  | 23887  | 12  | 1991  | 1.51 | 3.11         |
|                   | 总和  | 38937  | 17  | /     | /    |              |
| $^{60}\text{Co}$  | 瓶间  | 24726  | 5   | 4945  | /    |              |
|                   | 瓶内  | 27246  | 12  | 2270  | 1.51 | 3.11         |
|                   | 总和  | 51972  | 17  | /     | /    |              |

表 3 参比单位测量仪器信息

Table 3 Measuring instrument information of laboratories

| 单位代码 | 参比单位            | 测量仪器                              | 仪器型号                            | 检定日期                     |
|------|-----------------|-----------------------------------|---------------------------------|--------------------------|
| 01   | 港特别行政区香港天文台     | ORTEC及CANBERRA的P型高纯度锗伽玛探测器        | GEM 50-S(ORTEC)                 | 2017.11.22-2017.1.12     |
| 02   | 广东省环境辐射监测中心     | 高纯锗伽玛能谱系统                         | GMX60P4-83                      | 2017.1.18-2017.1.17      |
| 03   | 广东省环境辐射监测中心粤西部  | 高纯锗伽玛能谱系统                         | GEM-C7080-LB-C<br>GMX50P4-83-RB | 2016.3.17-2018.3.16      |
| 04   | 大亚湾核电运营管理有限责任公司 | ORTEC的N型及<br>CANBERRA的P型高纯锗伽玛能谱系统 | /                               | 2017.12.26<br>2017.09.07 |
| 05   | 广东省职业病防治院       | 高纯锗伽玛能谱系统                         | GMX40P4/BE6530                  | 2017.08.28               |
| 06   | 中国原子能科学研究院      | 高纯锗伽玛能谱系统                         | BE6530                          | 2016.6.30-2018.6.30      |

1.5 比对结果的评定 利用相对参考值的偏差(RSD)进行评估分析结果, 具体评定如下:

$$\text{RSD} = \frac{\text{实验室测量值} - \text{参考值}}{\text{参考值}} \times 100\%$$

其中: RSD 为相对标准偏差;

用相对标准偏差来进行判断, 其判断标准为:

$|\text{RSD}| < 30\%$  接受(A)

$|\text{RSD}| > 30\%$  不接受(N)

## 2 结果与讨论

气溶胶  $^{134}\text{Cs}$ 、 $^{137}\text{Cs}$  和  $^{60}\text{Co}$  比对参加单位 6 家, 反馈数据各 18 组。由各单位比对数据及评定结果表 4:  
 $^{134}\text{Cs}$ : 相对偏差  $< 10\%$ , 3 组, 占 50%;  $10\% \sim 20\%$ , 3 组, 50%;  $^{137}\text{Cs}$ : 相对偏差  $< 10\%$ , 2 组, 占 33.3%;  $10\% \sim 20\%$ , 4 组, 76.7%;  $^{60}\text{Co}$ : 相对偏差  $< 10\%$ , 6 组, 占 100%。整体比对结果良好。

通过本次实验室间的比对活动, 掌握了气溶胶标准样品点滴制备技术, 同时了解参比单位气溶胶中  $^{134}\text{Cs}$ 、 $^{137}\text{Cs}$  和  $^{60}\text{Co}$  核素分析测量水平, 整体来看参比

单位气溶胶  $\gamma$  核素分析水平良好, 分析过程存在的误差较少。通过交流, 总结了本次比对活动中的一些问题, 主要包括:

1) 采用点滴法制备气溶胶标准样品, 由于溶液的渗透性, 造成部分标准溶液通过滤膜损失掉。同时, 红外灯烘干温度过高, 也易造成溶液喷溅, 最终造成标准样品均匀性差。

2) 本次比对测量是单张气溶胶滤膜标准样的测量, 该方式适用于应急或者高活度浓度的气溶胶样品测量。在常规监测中, 由于放射性水平低, 通常需要把多个单张气溶胶样品压制成饼状测量, 多个单张气溶胶滤膜标准样品放在一起压制成的标准气溶胶样品, 均匀性较差, 无法用于仪器效率的刻度。因此, 需要重新研究常规饼状气溶胶标准样品的制备技术<sup>[14]</sup>, 以用于常规环境气溶胶放射性  $\gamma$  放射性核素的分析。

3) 在气溶胶测量过程, 气溶胶折叠的几何形状、距探头的距离严重影响探测效率, 因此, 仪器效率的刻度选择与样品完全一致的测量条件, 至关重要<sup>[15]</sup>。

表4 气溶胶<sup>134</sup>Cs、<sup>137</sup>Cs和<sup>60</sup>Co标准样品比对数据与评定结果Table 4 Intercomparison data and evaluation results of <sup>134</sup>Cs, <sup>137</sup>Cs, and <sup>60</sup>Co standard aerosol samples

| 单位代码 | 参比单位            | 样品编号       | 测量核素              | 测量值/Bq | 参考值/Bq | RSD(%) | 评判结果 |
|------|-----------------|------------|-------------------|--------|--------|--------|------|
| 01   | 香港特别行政区香港天文台    | NS19-01-01 | <sup>134</sup> Cs | 14.0   | 12.1   | 16.96  | A    |
|      |                 |            | <sup>137</sup> Cs | 15.6   | 13.3   | 15.70  | A    |
|      |                 |            | <sup>60</sup> Co  | 17.4   | 16     | 8.75   | A    |
| 02   | 广东省环境辐射监测中心     | NS19-01-02 | <sup>134</sup> Cs | 13.9   | 12.1   | 14.88  | A    |
|      |                 |            | <sup>137</sup> Cs | 14.9   | 13.3   | 12.03  | A    |
|      |                 |            | <sup>60</sup> Co  | 16.8   | 16     | 5.00   | A    |
| 03   | 广东省环境辐射监测中心粤西分部 | NS19-01-04 | <sup>134</sup> Cs | 11.9   | 12.1   | -1.65  | A    |
|      |                 |            | <sup>137</sup> Cs | 14.2   | 13.3   | 6.77   | A    |
|      |                 |            | <sup>60</sup> Co  | 15.6   | 16     | -2.50  | A    |
| 04   | 大亚湾核电运营管理有限责任公司 | NS19-01-05 | <sup>134</sup> Cs | 15.6   | 12.1   | 28.93  | A    |
|      |                 |            | <sup>137</sup> Cs | 15.3   | 13.3   | 15.04  | A    |
|      |                 |            | <sup>60</sup> Co  | 17     | 16     | 6.25   | A    |
| 05   | 广东省职业病防治院       | NS19-01-06 | <sup>134</sup> Cs | 13.2   | 12.1   | 9.09   | A    |
|      |                 |            | <sup>137</sup> Cs | 14.7   | 13.3   | 10.53  | A    |
|      |                 |            | <sup>60</sup> Co  | 16.3   | 16     | 1.88   | A    |
| 06   | 中国原子能科学研究院      | NS19-01-07 | <sup>134</sup> Cs | 11.7   | 12.1   | -3.31  | A    |
|      |                 |            | <sup>137</sup> Cs | 13.8   | 13.3   | 3.76   | A    |
|      |                 |            | <sup>60</sup> Co  | 17.2   | 16     | 7.50   | A    |

### 3 总 结

本文制备了环境气溶胶样中<sup>134</sup>Cs、<sup>137</sup>Cs和<sup>60</sup>Co的标准样品，并对样品进行均匀性检验，表明制备的标准样品均匀性好，准确可靠。由国防科技工业一级计量站进行定值，结果显示与国家国防一级计量站定值相符合。最后，通过实验室间的比对活动开展了标准样品的比对实验，由6家辐射环境实验室提供的数据得出，<sup>134</sup>Cs、<sup>137</sup>Cs和<sup>60</sup>Co的测量结果基本一致，6家参比单位对气溶胶中γ核素的分析水平高，分析误差小。后续建议针对环境辐射监测实验室，对不同气溶胶类型的标准样品制备以及测量技术开展深入研究，以应对不同气溶胶类型样品的分析测量。

**利益冲突** 本研究由署名作者按以下贡献声明独立开展，排名无争议。文章不涉及任何利益冲突

**作者贡献声明** 娄海林负责研究思路、方案的设计以及实施并撰写论文；郑一凡、董迁、孙笑雨负责实验以及数据的汇总；文雯、丛日俐负责论文修改；涂兴明、王绍林负责提出研究方向，指导论文写作及修改

### 参考文献

- [1] 孔玉侠,崔力萌,王欢,等.北京市大气气溶胶总α、总β放射性测量与分析[J].中国辐射卫生,2019,28(5):513-516. DOI: 10.13491/j.issn.1004-714X.2019.05.011.  
Kong YX, Cui LM, Wang H, et al. Measurement and analysis of gross alpha and beta radioactivity of atmospheric aerosols in Beijing[J]. Chin J Radiol Health, 2019, 28 ( 5 ) : 513-516. DOI: 10.13491/j.issn.1004-714X.2019.05.011.
- [2] 曲训帅,任晓洁,汪怡.2015—2018年青岛市登瀛监测点气溶胶中<sup>90</sup>Sr的放射性水平调查[J].中国辐射卫生,2019,28(6):688-690,694. DOI: 10.13491/j.issn.1004-714X.2019.06.024.  
Qu XS, Ren XJ, Wang Y. Investigation on the radioactive level of Strontium-90 in aerosol of Qingdao Dengying from 2015 to 2018[J]. Chin J Radiol Health, 2019, 28 ( 6 ) : 688-690,694. DOI: 10.13491/j.issn.1004-714X.2019.06.024.
- [3] 卢瑛,娄海林,李爱云,等.奶粉中<sup>60</sup>Co、<sup>137</sup>Cs和<sup>90</sup>Sr测量的实验室间比对结果[J].中国辐射卫生,2020,29(6):621-624. DOI: 10.13491/j.issn.1004-714X.2020.06.011.  
Lu Y, Lou HL, Li AY, et al. Intercomparison of milk powder <sup>90</sup>Sr, <sup>60</sup>Co and <sup>137</sup>Cs analysis among laboratories[J]. Chin J Radiol Health, 2020, 29 ( 6 ) : 621-624. DOI: 10.13491/j.issn.1004-714X.2020.06.011.

- [4] 娄海林, 卢瑛, 秦文超, 等. 田湾核电站生物中<sup>137</sup>Cs和<sup>90</sup>Sr水平及公众内照射剂量评估[J]. 核电子学与探测技术, 2018, 38 (2) : 241-244. DOI: 10.3969/j.issn.0258-0934.2018.02.018.
- Lou HL, Lu Y, Qin WC, et al. Radioactivity Levels of<sup>137</sup>Cs, <sup>90</sup>Sr in organisms and estimation of internal dose around Tianwan Nuclear Power Station[J]. Nucl Electron Detect Technol, 2018, 38 (2) : 241-244. DOI: 10.3969/j.issn.0258-0934.2018.02.018.
- [5] 杜云武, 邓晓钦, 王茜, 等. 中国核动力院外围空气中<sup>7</sup>Be、<sup>40</sup>K、<sup>60</sup>Co、<sup>131</sup>I、<sup>137</sup>Cs分布特征及所致公众年有效剂量评价[J]. 辐射防护, 2021, 41 (4) : 335-342.
- Du YW, Deng XQ, Wang Q, et al. Distribution characteristics of <sup>7</sup>Be, <sup>40</sup>K, <sup>60</sup>Co, <sup>131</sup>I and <sup>137</sup>Cs in the ambient air of China Nuclear Power Institute and annual effective dose evaluation for the public[J]. Radiat Prot, 2021, 41 (4) : 335-342.
- [6] 沙连茂. 辐射环境监测的质量保证[M]//潘自强. 电离辐射环境监测与评价. 北京: 中国原子能出版社, 2007.
- Sha LM. Quality assurance of radiation environment monitoring[M]//Pan ZQ. Monitoring and evaluation of ionizing radiation environment. Beijing: China Atomic Energy Press, 2007.
- [7] 杨莉, 王丽姣, 邵明刚, 等. 用于环境辐射水平监测的热释光测量系统的质量控制[J]. 中国辐射卫生, 2021, 30 (4) : 457-462. DOI: 10.13491/j.issn.1004-714X.2021.04.014.
- Yang L, Wang LJ, Shao MG, et al. Quality control measures of thermoluminescent dosimetry system used in environmental radiation monitoring[J]. Chin J Radiol Health, 2021, 30 (4) : 457-462. DOI: 10.13491/j.issn.1004-714X.2021.04.014.
- [8] 吴连生, 黄彦君, 陈超峰, 等. 环境样品中<sup>90</sup>Sr检测过程的质量控制与评价方法[J]. 原子能科学技术, 2016, 50 (5) : 789-797. DOI: 10.7538/yzk.2016.50.05.0789.
- Wu LS, Huang YJ, Chen CF, et al. Quality control and evaluation method for analysis process of <sup>90</sup>Sr in environmental sample[J]. Atomic Energy Sci Technol, 2016, 50 (5) : 789-797. DOI: 10.7538/yzk.2016.50.05.0789.
- [9] 曹龙生, 丁逊, 杨阳, 等. 不同γ辐射剂量率仪空气吸收剂量率测量比对分析[J]. 中国辐射卫生, 2021, 30 (2) : 159-164. DOI: 10.13491/j.issn.1004-714X.2021.02.008.
- Cao LS, Ding X, Yang Y, et al. Comparative analysis of air absorbed dose rate with different gamma radiation dose rate instrument[J]. Chin J Radiol Health, 2021, 30 (2) : 159-164. DOI: 10.13491/j.issn.1004-714X.2021.02.008.
- [10] 夏文, 叶宏生, 宋鑫鹏, 等. <sup>133</sup>Ba活性炭滤盒源制备方法研究[J]. 同位素, 2019, 32 (5) : 337-342. DOI: 10.7538/tws.2019.32.05.0337.
- Xia W, Ye HS, Song XP, et al. Study on preparation method of <sup>133</sup>Ba activated carbon filter cartridge source[J]. J Isotopes, 2019, 32 (5) : 337-342. DOI: 10.7538/tws.2019.32.05.0337.
- [11] 李明, 徐利军, 宋鑫鹏, 等. 大流量气溶胶滤膜标准γ体源制备技术[J]. 同位素, 2018, 31 (6) : 370-374. DOI: 10.7538/tws.2018.youxian.006.
- Li M, Xu LJ, Song XP, et al. Development technology for the preparation of high-volume aerosol filter standard gamma source[J]. J Isotopes, 2018, 31 (6) : 370-374. DOI: 10.7538/tws.2018.youxian.006.
- [12] 中华人民共和国国家质量监督检验检疫总局. GB/T 11713—2015 高纯锗γ能谱分析通用方法[S]. 北京: 中国标准出版社, 2016.
- General Administration of Quality Supervision, Inspection and Quarantine of the People's Republic of China. GB/T 11713 —2015 General analytical methods of high-purity germanium gamma spectrometer[S]. Beijing: Standard Press of China, 2016.
- [13] 中华人民共和国国家卫生和计划生育委员会. WS/T 184—2017 空气中放射性核素的γ能谱分析方法[S]. 北京: 中国标准出版社, 2018.
- National Health and Family Planning Commission of the People's Republic of China. WS/T 184 —2017 Determination of radionuclides in air by gamma spectrometry[S]. Beijing: Standards Press of China, 2018.
- [14] 石夏青, 于国兵, 顾先宝, 等. 辐射监测气溶胶制样方法测试对比[J]. 核技术, 2016, 39 (3) : 030402. DOI: 10.11889/j.0253-3219.2016.hjs.39.030402.
- Shi XQ, Yu GB, Gu XB, et al. Test and comparison of aerosol sample preparation methods in radiation monitoring[J]. Nucl Tech, 2016, 39 (3) : 030402. DOI: 10.11889/j.0253-3219.2016.hjs.39.030402.
- [15] 阳雄宇, 杨辉, 廖海平. 高纯锗γ谱仪测量准确度影响因素分析[J]. 核电子学与探测技术, 2020, 40 (6) : 978-981. DOI: 10.3969/j.issn.0258-0934.2020.06.025.
- Yang XY, Yang H, Liao HP. Analysis of factors affecting the measurement accuracy of high-purity germanium gamma spectrometer[J]. Nucl Electron Detect Technol, 2020, 40 (6) : 978-981. DOI: 10.3969/j.issn.0258-0934.2020.06.025.

(收稿日期:2023-02-24)